

微分不能項をもつ複素非線形方程式系に対する反復解法

大阪女子大学 石原 和夫 (Kazuo Ishihara)

微分不能項をもつ複素 n 変数の非線形方程式系

$$F(\mathbf{z}) \equiv \mathbf{f}(\mathbf{z}) + \mathbf{g}(\mathbf{z}) = 0, \quad \mathbf{z} \in D \subset \mathbb{C}^n \quad (1)$$

に対する反復法について考える。ここで、 D は n 次元複素ベクトル空間 \mathbb{C}^n の領域、 $\mathbf{f}, \mathbf{g} : D \subset \mathbb{C}^n \rightarrow \mathbb{C}^n$, $\mathbf{z} = (z_1, z_2, \dots, z_n)^t$, t は転置

$$\mathbf{f}(\mathbf{z}) = (f_1(\mathbf{z}), f_2(\mathbf{z}), \dots, f_n(\mathbf{z}))^t, \quad \mathbf{g}(\mathbf{z}) = (g_1(\mathbf{z}), g_2(\mathbf{z}), \dots, g_n(\mathbf{z}))^t,$$

各 $f_i(\mathbf{z}), g_i(\mathbf{z})$ は D で 1 値関数, $f_i(\mathbf{z})$ は正則関数, $g_i(\mathbf{z})$ は微分不可能な連続関数とする。(1) に対して, Chen [2] は次のような Broyden-like 法を提案して、その収束性を示した([2] では n 次元実ベクトル空間 \mathbb{R}^n で扱われている)。

$$\mathbf{z}_{k+1} = \mathbf{z}_k - B_k^{-1} F(\mathbf{z}_k), \quad (2)$$

$$B_{k+1} = B_k + (\mathbf{t}_k - B_k \mathbf{s}_k) \mathbf{s}_k^h / (\mathbf{s}_k^h \mathbf{s}_k),$$

$$\mathbf{s}_k = \mathbf{z}_{k+1} - \mathbf{z}_k, \quad \mathbf{t}_k = \mathbf{f}(\mathbf{z}_{k+1}) - \mathbf{f}(\mathbf{z}_k)$$

$k = 0, 1, 2, \dots$ ただし, h は共役転置を表す。

ここでは、次のような反復法を考える。

$$\mathbf{z}_{k+1} = \mathbf{z}_k - [\mathbf{f}'(\mathbf{z}_k) + \partial_1 \mathbf{g}(\mathbf{z}_{k-1}, \mathbf{z}_k)]^{-1} F(\mathbf{z}_k) \quad (3)$$

$$\mathbf{z}_{k+1} = \mathbf{z}_k - [\mathbf{f}'(\mathbf{z}_k) + \partial_2 \mathbf{g}(\mathbf{z}_{k-1}, \mathbf{z}_k)]^{-1} F(\mathbf{z}_k) \quad (4)$$

$$\mathbf{z}_{k+1} = \mathbf{z}_k - [\partial_1 \mathbf{f}(\mathbf{z}_{k-1}, \mathbf{z}_k) + \partial_1 \mathbf{g}(\mathbf{z}_{k-1}, \mathbf{z}_k)]^{-1} F(\mathbf{z}_k) \quad (5)$$

$$\mathbf{z}_{k+1} = \mathbf{z}_k - [\partial_2 \mathbf{f}(\mathbf{z}_{k-1}, \mathbf{z}_k) + \partial_2 \mathbf{g}(\mathbf{z}_{k-1}, \mathbf{z}_k)]^{-1} F(\mathbf{z}_k) \quad (6)$$

$$\mathbf{z}_{k+1} = \mathbf{z}_k - \mathbf{f}'(\mathbf{z}_k)^{-1} F(\mathbf{z}_k) \quad (7)$$

$k = 0, 1, 2, \dots$, $\mathbf{z}_{-1}, \mathbf{z}_0$ は初期ベクトル, $\mathbf{z}_k = (z_{1,k}, z_{2,k}, \dots, z_{n,k})^t$, $z_{j,k} = x_{j,k} + iy_{j,k}$, $i = \sqrt{-1}$, $\mathbf{f}'(\mathbf{z}_k)$ は \mathbf{f} の \mathbf{z}_k でのヤコビアン行列であり, 行列 $\mathbf{f}'(\mathbf{z}_k)$, $\partial_1 \mathbf{g}(\mathbf{z}_{k-1}, \mathbf{z}_k)$, $\partial_2 \mathbf{g}(\mathbf{z}_{k-1}, \mathbf{z}_k)$ の (i, j) 成分はそれぞれ次のように与えられる。

$$(\mathbf{f}'(\mathbf{z}_k))_{i,j} = \frac{\partial f_i(\mathbf{z}_k)}{\partial z_j}, \quad 1 \leq i, j \leq n$$

$$\begin{aligned}
& (\partial_1 \mathbf{g}(\mathbf{z}_{k-1}, \mathbf{z}_k))_{i,j} = \begin{cases} \frac{1}{2} \left\{ \frac{\operatorname{Re}[g_i(\mathbf{z}_k) - g_i(\mathbf{z}_k^{(j,0)})]}{\operatorname{Re}[z_{j,k} - z_{j,k-1}]} + \frac{\operatorname{Im}[g_i(\mathbf{z}_k) - g_i(\mathbf{z}_k^{(j,1)})]}{\operatorname{Im}[z_{j,k} - z_{j,k-1}]} \right\} \\ \quad + \frac{i}{2} \left\{ -\frac{\operatorname{Re}[g_i(\mathbf{z}_k) - g_i(\mathbf{z}_k^{(j,1)})]}{\operatorname{Im}[z_{j,k} - z_{j,k-1}]} + \frac{\operatorname{Im}[g_i(\mathbf{z}_k) - g_i(\mathbf{z}_k^{(j,0)})]}{\operatorname{Re}[z_{j,k} - z_{j,k-1}]} \right\}, \\ \quad (\operatorname{Re}[z_{j,k} - z_{j,k-1}] \neq 0, \operatorname{Im}[z_{j,k} - z_{j,k-1}] \neq 0 \text{ の時}) \\ \frac{\operatorname{Re}[g_i(\mathbf{z}_k) - g_i(\mathbf{z}_k^{(j,0)})]}{\operatorname{Re}[z_{j,k} - z_{j,k-1}]} + i \frac{\operatorname{Im}[g_i(\mathbf{z}_k) - g_i(\mathbf{z}_k^{(j,0)})]}{\operatorname{Re}[z_{j,k} - z_{j,k-1}]}, \\ \quad (\operatorname{Re}[z_{j,k} - z_{j,k-1}] \neq 0, \operatorname{Im}[z_{j,k} - z_{j,k-1}] = 0 \text{ の時}) \\ \frac{\operatorname{Im}[g_i(\mathbf{z}_k) - g_i(\mathbf{z}_k^{(j,1)})]}{\operatorname{Im}[z_{j,k} - z_{j,k-1}]} - i \frac{\operatorname{Re}[g_i(\mathbf{z}_k) - g_i(\mathbf{z}_k^{(j,1)})]}{\operatorname{Im}[z_{j,k} - z_{j,k-1}]}, \\ \quad (\operatorname{Re}[z_{j,k} - z_{j,k-1}] = 0, \operatorname{Im}[z_{j,k} - z_{j,k-1}] \neq 0 \text{ の時}) \\ 0, \quad (\operatorname{Re}[z_{j,k} - z_{j,k-1}] = 0, \operatorname{Im}[z_{j,k} - z_{j,k-1}] = 0 \text{ の時}) \end{cases} \\
& (\partial_2 \mathbf{g}(\mathbf{z}_{k-1}, \mathbf{z}_k))_{i,j} = \begin{cases} \frac{g_i(\mathbf{z}_k) - g_i(\mathbf{z}_k^{(j)})}{z_{j,k} - z_{j,k-1}}, \quad (z_{j,k} - z_{j,k-1} \neq 0 \text{ の時}) \\ 0, \quad (z_{j,k} - z_{j,k-1} = 0 \text{ の時}) \end{cases}
\end{aligned}$$

ここで、

$$\begin{aligned}
\mathbf{z}_k^{(j,0)} &= (z_{1,k}, \dots, z_{j-1,k}, x_{j,k-1} + iy_{j,k}, z_{j+1,k}, \dots, z_{n,k})^t, \\
\mathbf{z}_k^{(j,1)} &= (z_{1,k}, \dots, z_{j-1,k}, x_{j,k} + iy_{j,k-1}, z_{j+1,k}, \dots, z_{n,k})^t. \\
\mathbf{z}_k^{(j)} &= (z_{1,k}, \dots, z_{j-1,k}, z_{j,k-1}, z_{j+1,k}, \dots, z_{n,k})^t.
\end{aligned}$$

$\partial_1 \mathbf{f}(\mathbf{z}_{k-1}, \mathbf{z}_k)$, $\partial_2 \mathbf{f}(\mathbf{z}_{k-1}, \mathbf{z}_k)$ も $\partial_1 \mathbf{g}(\mathbf{z}_{k-1}, \mathbf{z}_k)$, $\partial_2 \mathbf{g}(\mathbf{z}_{k-1}, \mathbf{z}_k)$ と同様に定義される。

以後、次のような ℓ_1 ベクトルノルム, ℓ_1 行列ノルム, 記号を使用する。

$$\|\mathbf{z}\| = \sum_{j=1}^n |z_j|, \quad \mathbf{z} \in \mathbf{C}^n,$$

$$|||A||| = \max_{1 \leq j \leq n} \sum_{i=1}^n |a_{i,j}|, \quad A = (a_{i,j}), \quad a_{i,j} \in \mathbf{C}, \quad 1 \leq i, j \leq n,$$

$$G_k = \mathbf{f}'(\mathbf{z}_k) + \partial_1 \mathbf{g}(\mathbf{z}_{k-1}, \mathbf{z}_k), \quad k = 0, 1, 2, \dots.$$

以上の準備の下で反復法 (3) に対して次のような結果が得られる。

定理 1. $\mathbf{z}_* \in D \subset \mathbf{C}^n$ を (1) の解, $\mathbf{f}'(\mathbf{z}_*)$ は正則行列で次のような定数 q , L , K が存在するとする。

$$0 \leq q < 1, \quad 0 \leq L \leq \frac{q}{2+q},$$

$$\begin{aligned} |||f'(\mathbf{z}_*)^{-1}||| \cdot |||f'(\mathbf{u}) - f'(\mathbf{v})||| &\leq K\|\mathbf{u} - \mathbf{v}\|, \quad \mathbf{u}, \mathbf{v} \in D, \\ |||f'(\mathbf{z}_*)^{-1}||| \cdot \|g(\mathbf{u}) - g(\mathbf{v})\| &\leq L\|\mathbf{u} - \mathbf{v}\|, \quad \mathbf{u}, \mathbf{v} \in D, \end{aligned}$$

さらに, G_0 が

$$|||f'(\mathbf{z}_*)^{-1}||| \cdot |||G_0 - f'(\mathbf{z}_*)||| \leq b \equiv \frac{2q - L}{3 + 2q}$$

を満たすとする. \Rightarrow 反復法 (3) は, 閉球

$$\overline{S}(\mathbf{z}_*, r) \equiv \{\mathbf{z} \in \mathbb{C}^n; \|\mathbf{z} - \mathbf{z}_*\| \leq r\} \subset D, \quad r \leq \frac{2[q - (2+q)L]}{(3+2q)K}$$

において well-defined であり, かつ $\overline{S}(\mathbf{z}_*, r)$ は attraction ball となり, 次式を満たす.

$$\|\mathbf{z}_{k+1} - \mathbf{z}_*\| \leq q\|\mathbf{z}_k - \mathbf{z}_*\|, \quad k = 0, 1, 2, \dots$$

定理 2. (1)において $f(\mathbf{z}) \equiv A\mathbf{z}$ の時, A は正則行列で次のような定数 L が存在するとする.

$$0 \leq L < \frac{1}{3}, \quad |||A^{-1}||| \cdot \|g(\mathbf{u}) - g(\mathbf{v})\| \leq L\|\mathbf{u} - \mathbf{v}\|, \quad \mathbf{u}, \mathbf{v} \in \mathbb{C}^n$$

\Rightarrow 任意の初期ベクトル $\mathbf{z}_{-1}, \mathbf{z}_0 \in \mathbb{C}^n$ に対して, 反復法 (3) は well-defined で, (1) の一意な解 \mathbf{z}_* に収束し, 次式を満たす.

$$\|\mathbf{z}_{k+1} - \mathbf{z}_*\| \leq \frac{2L}{1-L}\|\mathbf{z}_k - \mathbf{z}_*\|, \quad k = 0, 1, 2, \dots$$

反復法 (4),(5),(6),(7) についても同様の結果が得られる.

数値実験に対しては次のような例題を考える.

$$\begin{aligned} \text{Example 1 : } 6\text{Log}z + \max\{|\text{Re}[z]|, |\text{Im}[z]|\} + i\min\{|\text{Re}[z]|, |\text{Im}[z]|\} \\ - \sqrt{2}/2 - i(3\pi/2 + \sqrt{2}/2) = 0. \end{aligned}$$

$$\text{Example 2 : } z^3 + \min\{|z|, 2\} + 2 - \sqrt{2} - 2i = 0.$$

$$\text{Example 3 : } e^{z-0.5} + 0.2z|z-1| - 1.05 = 0.$$

$$\text{Example 4 : } n = 100,$$

$$\left\{ \begin{array}{l} 10e^{z_1-\omega_1} + iz_2 + \frac{1}{n} \sum_{m=1}^n |z_m| - 11 - i\omega_2 = 0, \\ iz_{j-1} + 10e^{z_j-\omega_j} + iz_{j+1} + \frac{1}{n} \sum_{m=1}^n |z_m| - 11 - i(\omega_{j-1} + \omega_{j+1}) = 0, \\ \quad 2 \leq j \leq n-1, \\ iz_{n-1} + 10e^{z_n-\omega_n} + \frac{1}{n} \sum_{m=1}^n |z_m| - 11 - i\omega_{n-1} = 0. \end{array} \right.$$

Example 5 : $n = 100$,

$$\left\{ \begin{array}{l} 10z_1 + iz_2 + \frac{1}{n} \sum_{m=1}^n |z_m| - 1 - 10\omega_1 - i\omega_2 = 0, \\ iz_{j-1} + 10z_j + iz_{j+1} + \frac{1}{n} \sum_{m=1}^n |z_m| - 1 - 10\omega_j - i(\omega_{j-1} + \omega_{j+1}) = 0, \\ \quad 2 \leq j \leq n-1, \\ iz_{n-1} + 10z_n + \frac{1}{n} \sum_{m=1}^n |z_m| - 1 - 10\omega_n - i\omega_{n-1} = 0. \end{array} \right.$$

ただし, ω_j , $1 \leq j \leq n$ は 1 の n 乗根で次式で与えられる.

$$\omega_j = e^{i \frac{2(j-1)\pi}{n}} = \cos \frac{2(j-1)\pi}{n} + i \sin \frac{2(j-1)\pi}{n}, \quad 1 \leq j \leq n.$$

Example 1における

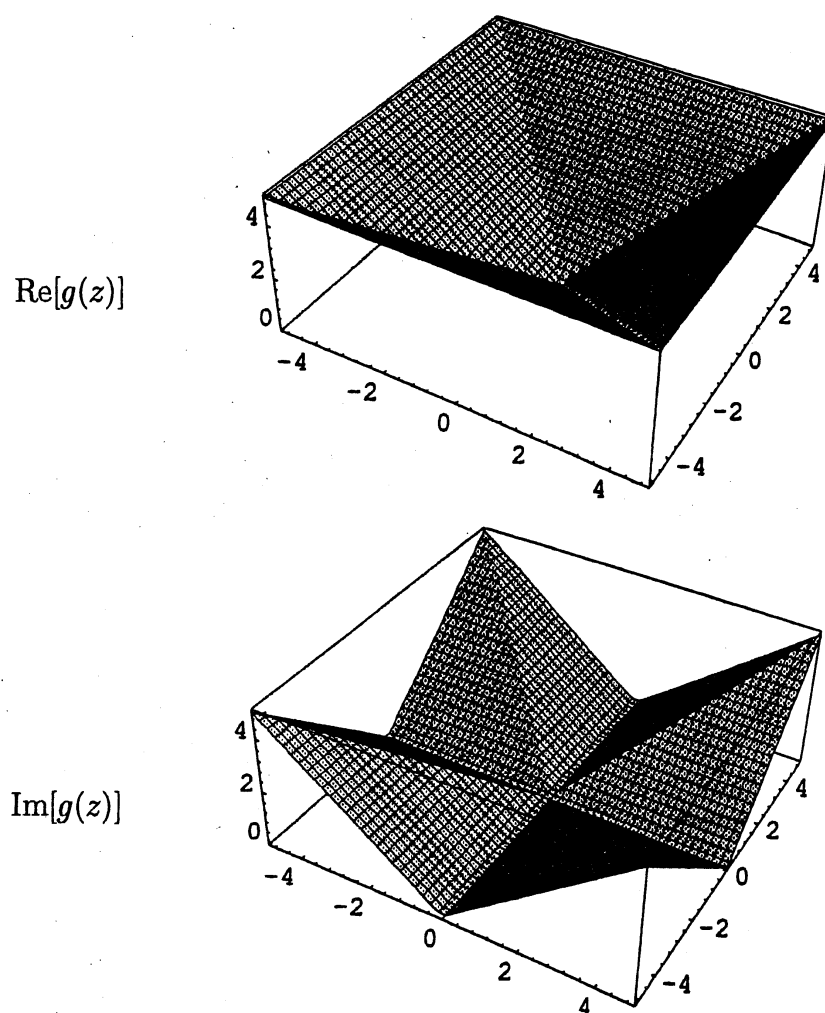
$$g(z) = \max\{|\operatorname{Re}[z]|, |\operatorname{Im}[z]|\} + i \min\{|\operatorname{Re}[z]|, |\operatorname{Im}[z]|\}$$

$$\begin{aligned} F(z) = & 6 \operatorname{Log} z + \max\{|\operatorname{Re}[z]|, |\operatorname{Im}[z]|\} + i \min\{|\operatorname{Re}[z]|, |\operatorname{Im}[z]|\} \\ & - \sqrt{2}/2 - i(3\pi/2 + \sqrt{2}/2) \end{aligned}$$

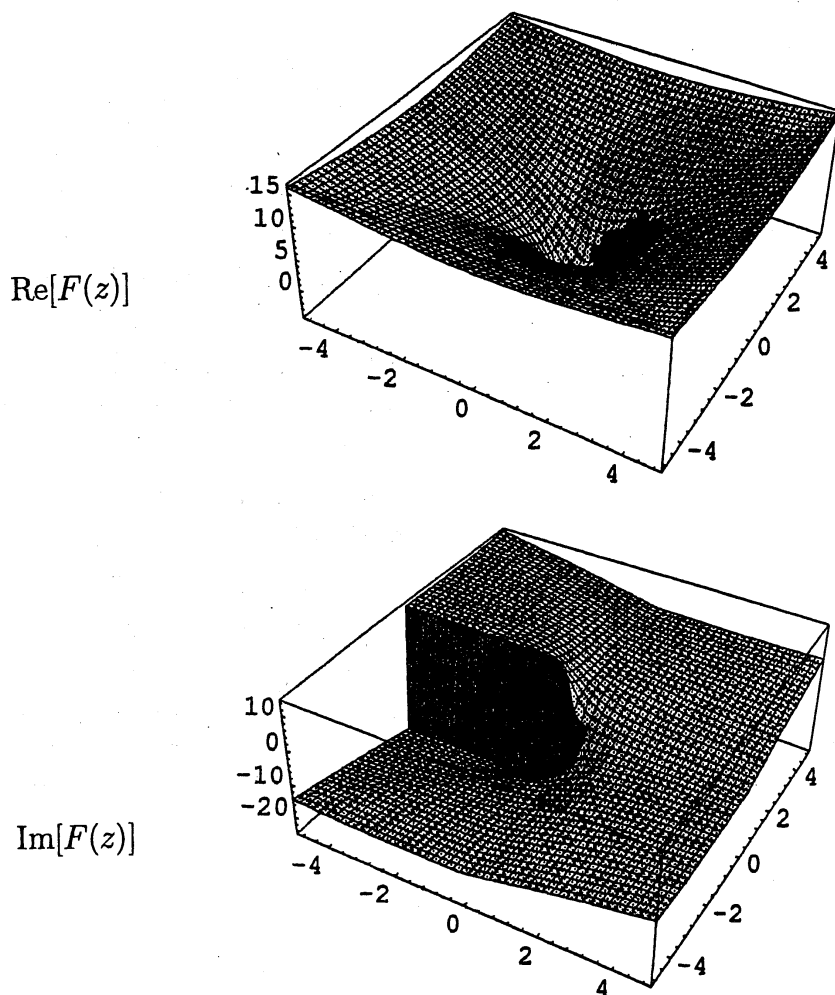
の実数部と虚数部を立体的に表した図と, Example 3 の数値例の表は次のとおりである.
くわしい数値例は講演時に示す(FORTRANによる倍精度複素演算で実行).

参考文献

- [1] Ahlfors, L., Complex analysis, McGraw-Hill, 1966.
- [2] Chen, X., On the convergence of Broyden-like methods for nonlinear equations with nondifferentiable terms, Ann. Inst. Statist. Math. 42 (1990), 387–401.
- [3] Gunning, R. C. and Rossi, H., Analytic functions of several complex variables, Prentice-Hall, 1965.
- [4] Ishihara, K. and Yamamoto, T., On nonlinear SOR-like methods, IV – SOR-secant method for nondifferentiable problems, Math. Japon. 46 (1997), 103–116.
- [5] Kelley, C. T., Iterative methods for linear and nonlinear equations, SIAM, 1995.
- [6] Ortega, J. M., Numerical analysis, a second course, SIAM, 1990.
- [7] Ortega, J. M. and Rheinboldt, W. C., Iterative solution of nonlinear equations in several variables, Academic Press, 1970.
- [8] 石原和夫, 会沢成彦, 微分不能項をもつ複数非線形方程式に対する Newton-like 法, 1997 年 4 月, 日本数学会応用数学分科会(信州大学).



$$g(z) = \max\{|\text{Re}[z]|, |\text{Im}[z]|\} + i \min\{|\text{Re}[z]|, |\text{Im}[z]|\}$$



$$\begin{aligned} F(z) = & 6 \operatorname{Log} z + \max\{|\operatorname{Re}[z]|, |\operatorname{Im}[z]|\} + i \min\{|\operatorname{Re}[z]|, |\operatorname{Im}[z]|\} \\ & - \sqrt{2}/2 - i(3\pi/2 + \sqrt{2}/2) \end{aligned}$$

Numerical solutions for Example 3 ($z_*^{(1)} = x_* = 0.5$).

| Iteration (3) | | | | Iteration (2) (Chen [2]) | |
|----------------------|-------------|-------------|-----------------------------|---------------------------------|----------------------------|
| <i>k</i> | Re[z_k] | Im[z_k] | $F(z_k)$ | x_k | $F(x_k)$ |
| 0 | 1.000000 | 0.0000000 | 0.5987213 | 1.000000 | 0.5987213 |
| 1 | 0.6368572 | 0.0000000 | 0.1429184 | 0.6368572 | 0.1429184 |
| 2 | 0.4966439 | 0.0000000 | 0.3352714 $\times 10^{-2}$ | 0.5501727 | 0.5094931 $\times 10^{-1}$ |
| 3 | 0.5001005 | 0.0000000 | 0.1005031 $\times 10^{-3}$ | 0.5192704 | 0.1938308 $\times 10^{-1}$ |
| 4 | 0.5000001 | 0.0000000 | 0.7245342 $\times 10^{-7}$ | 0.5075140 | 0.7531057 $\times 10^{-2}$ |
| 5 | 0.5000000 | 0.0000000 | 0.1453768 $\times 10^{-11}$ | 0.5029462 | 0.2948839 $\times 10^{-2}$ |
| 6 | 0.5000000 | 0.0000000 | 0.4163336 $\times 10^{-16}$ | 0.5011576 | 0.1158071 $\times 10^{-2}$ |
| 7 | | | | 0.5004552 | 0.4553262 $\times 10^{-3}$ |
| 8 | | | | 0.5001791 | 0.1791028 $\times 10^{-3}$ |
| 9 | | | | 0.5000704 | 0.7046536 $\times 10^{-4}$ |
| 10 | | | | 0.5000277 | 0.2772386 $\times 10^{-4}$ |
| 11 | | | | 0.5000108 | 0.1090817 $\times 10^{-4}$ |
| 12 | | | | 0.5000042 | 0.4295704 $\times 10^{-5}$ |
| 13 | | | | 0.5000017 | 0.1682770 $\times 10^{-5}$ |
| 14 | | | | 0.5000006 | 0.6658424 $\times 10^{-6}$ |
| 15 | | | | 0.5000002 | 0.2619884 $\times 10^{-6}$ |
| 16 | | | | 0.5000001 | 0.9935910 $\times 10^{-7}$ |